



УДК 621.771.001

Т.В. Бровман
ФГБОУ ВПО «Тверской государственный
технический университет»
г. Тверь, Россия
E-mail: brovman@mail.ru
Дата поступления 15.11.2021

РАЗРАБОТКА НОВЫХ МЕТОДОВ РАСЧЕТА ЭНЕРГОСИЛОВЫХ ПАРАМЕТРОВ ВОЛОЧЕНИЯ И ПРЕССОВАНИЯ

Аннотация

Характерной особенностью конструкции инструмента для волочения является необходимость обеспечения постоянной подачи смазки в зону деформации. Предложена конструкция волоки, в которой поверхность зоны деформации выполнена в виде спирали. При больших усилиях волочения вдоль всей матрицы остается зазор в форме винтовой полости, по которой прокачивают смазку. На основе теоретических расчетов получены критерии, позволяющие определить кинематически допустимое поле скоростей, совместимое с движением жестких зон.

Ключевые слова: волочение, прессование, мощность деформации, смазка волоки.

Введение

Волочение при некачественной смазке приводит к низкой стойкости инструмента, ограничивает скорость волочения и производительность волочильных станов. Использование в качестве материала волок сверхтвердых сплавов, для повышения их прочности, износостойкости и долговечности показало, что, такие сплавы чувствительны к нагреву и воздействию термических напряжений (их теплопроводность низкая, а внешнее охлаждение волок неэффективно для охлаждения контактной поверхности волоки и деформируемой заготовки). Для материалов высокой прочности, подвергаемых волочению, широко применяют волоки из сплавов вольфрама, кобальта (CoS -15%) при использовании интенсивного охлаждения внешней поверхности волоки. В процессе волочения имеет место значительное трение, которое приводит к нагреву и сдерживает увеличение скоростей волочения, а следовательно, и производительность волочильных станов.

Много конструкций инструмента разрабатывают таким образом, чтобы обеспечить нагнетание смазки и ее подачу в зону деформации. Инструмент, обычно, соединен с системой подачи в волоку смазки, однако, трудно добиться попадания смазки по

всей поверхности контакта волоки и деформируемой заготовки, ввиду значительных контактных давлений.

Основная часть

При волочении, также как и при прессовании, происходит радиальное обжатие заготовки при одновременном ее движении вдоль своей оси [1-6]. На рисунке 1 показана схема деформации круглой заготовки радиусом R_0 до R_1 . Очаг деформации находится между плоскостями АВ и CD, а внешние жесткие зоны перемещаются со скоростями $V_z = -V_0$ и $V_z = -V_1$, причем $V_0 R_0^2 = V_1 R_1^2$; ($V_r = 0$ в жестких зонах).

Кинематически допустимое поле скоростей определяет завышенную величину мощности и напряжения волочения. Обычно, кинематически допустимое поле скоростей определяют из условий:

а) условия несжимаемости, которое можно записать в виде [3]

$$\frac{\partial V_r}{\partial r} + \frac{V_r}{r} + \frac{\partial V_z}{\partial z} = 0;$$

б) краевого условия для скоростей на поверхности матрицы $\frac{\partial z}{\partial r} = \frac{V_z}{V_r}$, в частном случае, для прямолинейной образующей, рисунок 1, $\frac{V_z}{V_r} = ctg\gamma$ на поверхности AC.

Принципиальным фактором в задачах волочения (и прессования), является наличие жестких зон, с которыми должно быть согласовано любое принятое поле скоростей. Иногда за такие границы принимают сферические поверхности, проходящие через окружности АВ и CD с центрами в точке О. То, что в общем случае эти сферы не могут быть границами внешних зон, отмечено в [3].

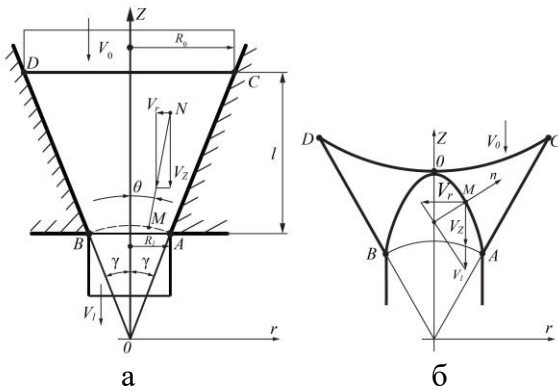


Рисунок 1. Схема деформации при волочении

Если существует поле скоростей, согласованное с движением жесткой внешней зоны и в зоне пластического течения, в любой точке N, рисунок 1а, заданы компоненты V_r, V_z , то существует такая поверхность, проходящая через АВ (или CD), на которой выполнено условие непрерывности нормальной компоненты скорости, т.е. проекции на нормаль «n» к поверхности ВМА. В любой точке М скорости V_r и V_z должны быть равны проекции на нормаль скорости жесткой зоны V_1 или V_0 . Это означает, что если в кольцевой зоне АОС, рисунок 1б принято поле скоростей V_r и V_z то проекции на нормаль «n» в точке М должны быть равны проекции скорости V_1 для передней внешней зоны и V_0 для задней внешней зоны.

Поскольку в пластической зоне $V_z = const, \varepsilon_z = \frac{\partial V_z}{\partial z} = 0$, то $V_r = \frac{c}{r}$, где С – постоянная и условие равенства проекции на нормаль определяем в любой точке границы внешней зоны, перемещающейся со скоростью V_1 , рисунок 2.

$V_1 \cdot \cos \alpha = -V_z \cos \alpha + V_r \cdot \sin \alpha$,
где α - угол наклона касательной к оси r .
При $V_z = -V_1; V_r = \frac{c}{r}$

$(V_1 - V) \cos \alpha = -\frac{c}{r} \sin \alpha$ или
 $\operatorname{tg} \alpha = \frac{\partial z}{\partial r} = \frac{(V_1 + V_z)}{V_r}$ - это дифференциальное уравнение линии $Z(r)$, вращение которой определяет граничную поверхность (вращение вокруг оси Z).

Подробный анализ приведен в [1,3,4], здесь отметим, что

$$\frac{\partial z}{\partial r} = -\frac{(V_1 - V)r}{c}; Z = C_1 - \frac{(V_1 - V)r^2}{2c};$$

где C_1 - постоянная, определяемая из граничных условий; если при $r = R, z = 0$, то $C_1 = \frac{(V_1 - V)R^2}{2c}$. Для границы задней внешней зоны получаем уравнение

$$\frac{\partial z}{\partial r} = \frac{(V_1 - V)r}{c}; z = C_2 + \frac{(V_1 - V)r^2}{2c}.$$

Условие $z = l$ при $r = R_0$ определит $C_2 = -\frac{(V_1 - V)R_0^2}{2c}$. Зная V_z, V_r можно определить линии тока.

$$\frac{\partial z}{\partial r} = \frac{V \cdot r}{c};$$

$$z = C_3 + \frac{V r^2}{2c} = \frac{V}{2c}(r^2 - R_1^2) \quad (1).$$

Видно, что это параболы.

Для удовлетворения кинематических краевых условий на поверхности матрицы ее форма должна описываться также одной из кривых класса (1) и определяет постоянную

$$C_3 = \frac{V}{2c}(R_0^2 - R_1^2) = \frac{V \cdot R_1^2}{2c}(\lambda - 1);$$

$$\lambda = \left(\frac{R_0}{R_1}\right)^2.$$

Схема поля скоростей приведена на рисунке 2. Здесь границами жестких зон являются: параболоид АОВ с уравнением

$$z_1 = l \left[1 + \frac{(V - V_0)}{V(\lambda - 1)} \left(\frac{r^2}{R_1^2} - \lambda \right) \right] =$$

$$= \frac{l}{\lambda - 1} \left[\frac{V_1}{V} - 1 + \frac{(V\lambda - V_1)}{V\lambda} \left(\frac{r^2}{R_1^2} \right) \right]$$

и параболоид COD с уравнением

$$z_2 = \frac{l(V_1 - V)}{V(\lambda - 1)} \left(1 - \frac{r^2}{R_1^2} \right).$$

Здесь же показаны произвольные точки на границах ОАВ и COD.

Уравнение параболы

$$ACDBz_3 = \frac{l}{\lambda - 1} \left(\frac{r^2}{R_1^2} - 1 \right)$$

Полная мощность включает мощности среза на параболоидах COD - N_1 , АОВ -

N_2 ; мощность формоизменения N_3 в кольцевой зоне, ограниченной параболоидами, а также мощности сил трения на BD.

При этом

$$N_1 = 2\pi k(V_1 - V) \int_0^{R_1} r \left[1 + \left(\frac{\partial z_1}{\partial r} \right)^2 \right] \left(\frac{\partial z_1}{\partial r} \right)^{-1} dr;$$

$$N_2 = 2\pi k(V - V_0) \int_0^{R_1} r \left[1 + \left(\frac{\partial z_2}{\partial r} \right)^2 \right] \left(\frac{\partial z_2}{\partial r} \right)^{-1} dr;$$

$$N_3 = 2\pi k \int_0^{R_1} r \left[\frac{VR_1^2(\lambda-1)}{lr^2} \right] (z_1 - z_2) dr +$$

$$+ 2\pi k \int_{R_1}^{R_0} r \left[\frac{VR_1^2(\lambda-1)}{lr^2} \right] (z_1 - z_3) dr$$

Здесь интенсивность тензора скорости деформации

$$H = \frac{2C}{r^2} = \frac{VR_1^2(\lambda-1)}{lr^2} \text{ при } V_r = \frac{C}{r};$$

$$V_z = const = V.$$

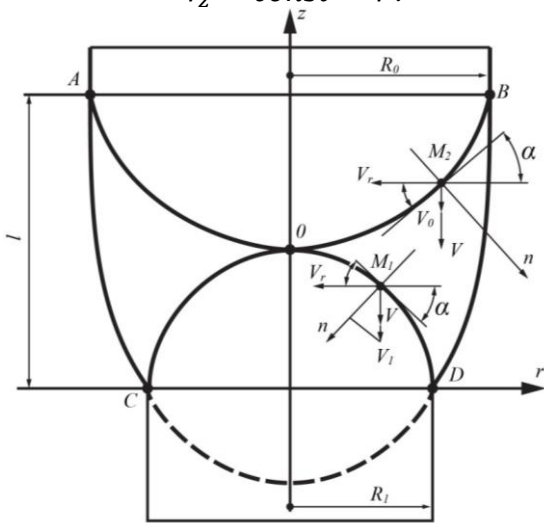


Рисунок 2. Схема кинематически допустимого поля скоростей

Мощность трения N_4 при скорости скольжения $\sqrt{V_r^2 + V^2} = V \sqrt{1 + \frac{(\lambda-1)^2 R_1^4}{4l^2 r^2}}$ и напряжении трения, равном (ψk) , где $0 \leq \psi \leq 1$, ψ - постоянная, определяющая трение,

$$N_4 = 2\psi kV \int_{R_1}^{R_0} r \sqrt{1 + \frac{(\lambda-1)^2 R_1^4}{4l^2 r^2}} \sqrt{1 + \frac{4l^2 r^2}{(\lambda-1)^2 R_1^4}} dr.$$

Необходимо учесть мощность сил противонапряжения:

$$N_5 = \sigma_0 \frac{V_1}{\lambda} \pi R_0^2 = \sigma_0 \pi V_1 R_1^2.$$

Приравняем полную мощность мощности внешних сил

$$N = \sigma_1 \pi V_1 R_1^2 = N_1 + N_2 + N_3 + N_4 + N_5.$$

В результате расчетов получаем

$$\frac{\sigma_1}{2k} = \frac{\sigma_0}{2k} + 0,5 \ln \lambda - \frac{4\alpha}{3(\sqrt{\lambda}-1)} + A_1 x + \frac{A_2}{x}, \quad (2)$$

где $\alpha = \frac{l_1}{R_1}$, а $x = \frac{V}{V_1}$ - варьируемый параметр, определяемый условием

$$\frac{\partial}{\partial x} \left(\frac{\sigma_1}{2k} \right) = 0; \quad x_0 = \sqrt{\frac{A_2}{A_1}};$$

$$\frac{\sigma_1}{2k} = \frac{\sigma_0}{2k} + 0,5 \ln \lambda - \frac{4\alpha}{3(\sqrt{\lambda}-1)} + 2\sqrt{A_1 A_2};$$

$$A_1 = \frac{\sqrt{\lambda}-1}{2\alpha} [\sqrt{\lambda} + 1 + \psi(\sqrt{\lambda}-1)] +$$

$$+ \frac{2\alpha}{3(\lambda-1)} [\lambda\sqrt{\lambda} + 1 + \psi(\lambda\sqrt{\lambda}-1)];$$

$$A_2 = \frac{2\alpha}{3\sqrt{\lambda}(\sqrt{\lambda}-1)}.$$

Можно перейти от параметров α, λ к параметрам $m = \frac{l}{R_0+R_1} = \frac{\alpha}{\sqrt{\lambda}+1}$.

Как показывают сравнительные расчеты, можно принять не $x_0 = \sqrt{\frac{A_2}{A_1}}$, а $x = \frac{1}{\lambda}$, что не более, чем на 10% завышает результаты.

Тогда

$$\frac{\sigma_1}{2k} = \frac{\sigma_0}{2k} + 0,5 \ln \lambda + 0,5 \ln \lambda + \frac{(\lambda-1)}{2\alpha\lambda} [\sqrt{\lambda} + 1 + \psi(\sqrt{\lambda}-1)]$$

$$+ \frac{2}{3} \frac{\alpha}{\lambda} \left[\lambda - 1 + \frac{\psi(\lambda + \sqrt{\lambda} + 1)}{\sqrt{\lambda} + 1} \right];$$

или

$$\frac{\sigma_1}{2k} = \frac{\sigma_0}{2k} + f_1(\lambda) + \frac{f_2(\lambda)}{m} + f_3(\lambda)m; \quad (3),$$

где $f_1(\lambda) = 0,5 \ln \lambda$; $f_2(\lambda) = \frac{(\lambda-1)}{2\lambda} \left[1 + \frac{\psi(\lambda-1)}{\sqrt{\lambda}+1} \right];$

$$f_3(\lambda) = \frac{2}{3\lambda} [(\lambda-1)(\sqrt{\lambda}+1) + \psi(\lambda + \sqrt{\lambda} + 1)].$$

Графики функций $\frac{\sigma_1}{2k}(\lambda)$ при $\psi = 0$ согласно формуле (2) приведены на рисунке 3, а по формуле (3) - на рисунке 4.

Все расчеты выполнены при $\sigma_0 = 0$, а участки кривых $\frac{\sigma_1}{2k}(\lambda)$ при $\frac{\sigma_1}{2k} \geq 1,0$ показаны тонкими линиями, так как они не отражают реально возможного процесса (внешняя жесткая зона не может выдержать напряжений растяжения, превышающих $2k$).

На рисунках 5 и 6 приведены графики функций $\frac{\sigma_1}{2k}(\lambda)$ по формуле (3) при $\psi = 0,1$ и $\psi = 0,2$.

Анализ большего количества расчетов показывает возможность упростить формулу (3), в частности, пренебречь влиянием ψ на функцию f_2 и записать

$$f_3(\lambda) = 2\psi + (\lambda-1)(1-0,7\psi).$$

Тогда получаем основную расчетную формулу

$$\frac{\sigma_1}{2k} = \frac{\sigma_0}{2k} + \frac{\psi l_0}{R_1} + 0,5 \ln \lambda + \frac{\lambda - 1}{2\lambda m} + m [2\psi + (1 - 0,7\psi)(\lambda - 1)] \quad (4)$$

Здесь учтено и наличие калибрующего пояска длиной l_0 , на котором действует трение, равное (ψk) .

Все полученные результаты относятся и к прессованию, если принять, рисунок 7, наличие в углу контейнера жесткой кольцевой зоны сечением ВЕД, в которой $V_r = V_z = 0$. Форма зоны ОВД пластического течения и ее граница ВД в этом случае определяется не формой контейнера, соответствующей линии ВЕД, а линией ВД, являющейся при используемом поле скоростей параболой. Размер « l » не задан, в этом случае, как обычно при волочении, а определяется при расчетах из условия $\frac{\partial}{\partial l}(N) = 0$ или $\frac{\partial}{\partial l}(\frac{\sigma_1}{2k}) = 0$.

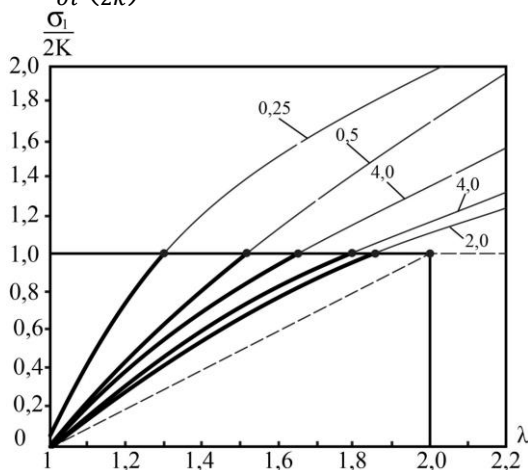


Рисунок 3. Графики $\frac{\sigma_1}{2k}(\lambda)$ для волочения при $\Psi = 0$ по формуле (2)

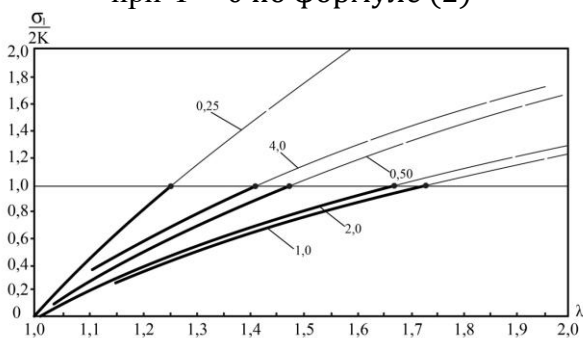


Рисунок 4. Графики $\frac{\sigma_1}{2k}(\lambda)$ при Ψ_0 по формуле (3)

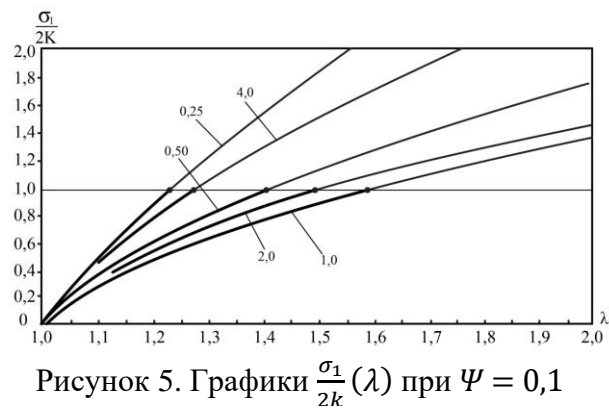


Рисунок 5. Графики $\frac{\sigma_1}{2k}(\lambda)$ при $\Psi = 0,1$

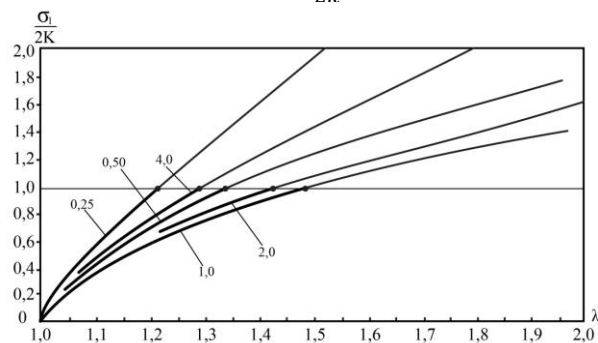


Рисунок 6. Графики $\frac{\sigma_1}{2k}(\lambda)$ при $\Psi = 0,2$

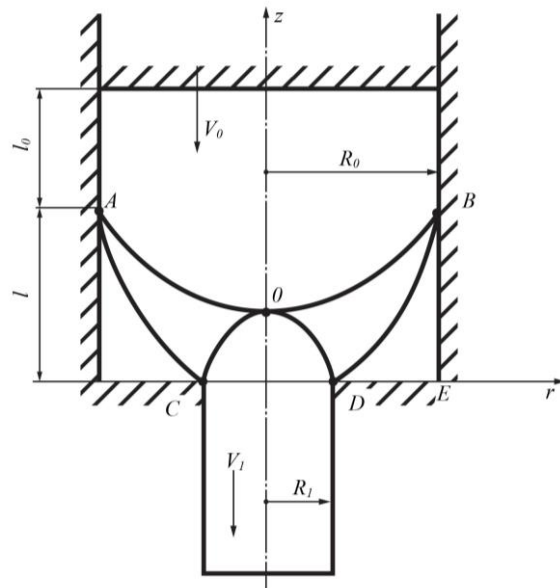


Рисунок 7. Схема поля скоростей при прессовании

При этом касательные напряжения на АС (ВД), рисунок 7 равны « k » и надо принять $\psi = 1,0$, когда с учетом (4)

$$\alpha = \frac{\sqrt{3}}{2}(\sqrt{\lambda} + 1) \sqrt{\frac{\lambda - 1}{\sqrt{\lambda}(\sqrt{\lambda} + 2)}} \text{ и}$$

при $\sigma_1 = 0$

$$\left| \frac{\sigma_0}{2k} \right| = 0,5 \ln \lambda + 2 \sqrt{\frac{2}{3}} \sqrt{\frac{(\lambda - 1)(\sqrt{\lambda} + 2)}{\sqrt{\lambda}}}$$

Согласно проведенным расчетам, можно использовать формулу, рисунок 8

$$\left| \frac{\sigma_0}{2k} \right| = \psi \frac{l_0}{R_0} + 2\sqrt{\lambda - 1} \quad (5)$$

где l_0 - длина внешней зоны, рисунок 7.

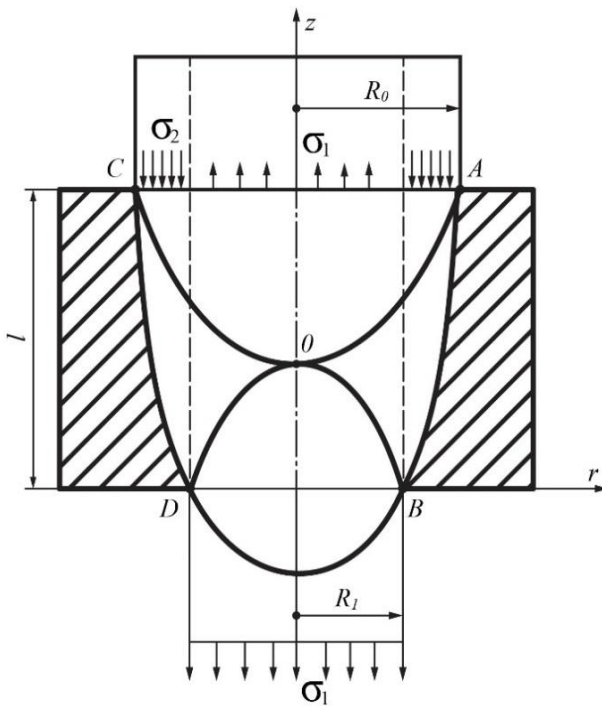
Для получения нижней границы желательного построить статически допустимые поля напряжений. Такие поля представлены на рисунке 9. При волочении, рисунок 9а в цилиндре $0 < r \leq R$ ($-\infty < z < +\infty$) действуют напряжения $\sigma_z = \sigma_1$; $\sigma_r = 0$, а в кольцевом цилиндре $R_1 < r \leq R_0$; $\sigma_z = -\sigma_2$, $\sigma_r = 0$; ($\tau_{rz} = 0$ всюду).

Условия равновесия требуют (сумма сил, действующих на заднюю внешнюю зону, должна быть равна нулю),

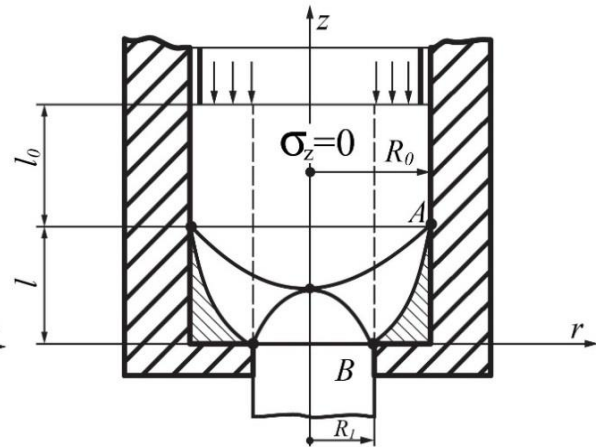
$$\sigma_1 \pi R_1^2 = \sigma_2 \pi (R_0^2 - R_1^2), \sigma_1 = \sigma_2 (\lambda - 1).$$

Если $\lambda < 2,0$, что всегда имеет место при волочении, то $\sigma_1 < \sigma_2$ и наибольшее возможное значение $\sigma_2 = 2k$, откуда следует, что

$$\frac{\sigma_0}{2k} = \lambda - 1 \quad (6).$$



а



б

Рисунок 9. Схемы полей напряжений:
а – при волочении; б – при прессовании

Из условия текучести Мизеса $(\rho - \sigma_z)^2 + (\sigma_z - \rho)^2$, $\sigma_z = -(\rho + k\sqrt{3})$.

Из этого же условия Мизеса максимальное значение ρ (при $0 \leq r < R_1$) $\rho = 2k\sqrt{3}$, что определяет нижнюю границу напряжения прессования

$$\sigma_0 \pi R_0^2 = \sigma_z \pi (R_0^2 - R_1^2);$$

При $\lambda > 2$ надо принять $\frac{\sigma_1}{2k} = 1$.

В случае прессования в цилиндре радиусом R_1 примем $\sigma_z = 0$,

$$\sigma_r = \sigma_\theta = \rho = const,$$

а в кольцевом цилиндре, при $R_1 \leq r \leq R_0$; $\sigma_r = \sigma_\theta = \rho = const$, $\sigma_z \neq 0$.

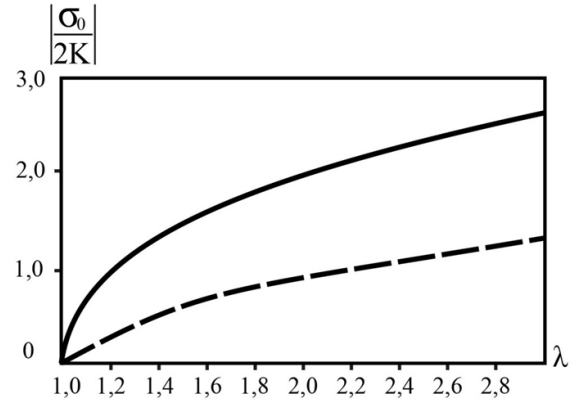


Рисунок 8. Графики функций $\frac{\sigma_0}{2k}$
для прессования

$$\left| \frac{\sigma_0}{2k} \right| = \frac{\sqrt{3}}{\lambda} (\lambda - 1) \quad (7).$$

Линия, соответствующая (7), на рисунке 8 показана пунктиром.

Например, при $\lambda = 2,0$, согласно (6) (при $l_0 = 0$), $\frac{\sigma_0}{2k} = 2,0$, а согласно (7)

$$\frac{\sigma_0}{2k} = \frac{\sqrt{3}}{2} = 0,87, \text{ т.е. фактически величина } 0,87 \leq \frac{\sigma_0}{2k} \leq 2,0.$$

Получены критерии, позволяющие определить для любого кинематически допустимого поля скоростей, совместимо ли оно с движением жестких зон. Показано, что для прямолинейных образующих матриц существует кинематически допустимое поле скоростей с линиями тока в виде гипербол. Однако, здесь эти данные не приводим, поскольку различия, а следовательно, и влияние формы матрицы невелики, поэтому можно применять формулу (4), как для матриц параболической формы, так и для конических с прямолинейными образующими.

Заключение

Теоретическое исследование позволяет сделать следующие выводы:

1. Получены формулы для определения верхней (и нижней) оценки усилий при волочении и прессовании.

2. Для практических расчетов может быть использована простая формула (4). Из нее следует, что влияние трения при волочении очень существенно. Так, например, если $m=1,0; \lambda = 1,2; \psi = 0$, то $\frac{\sigma_1}{2k} = 0,375$. А при увеличении в этих же условиях трения до $\psi = 0,1$ $\frac{\sigma_1}{2k} = 0,547$, т.е. напряжения возрастут в 1,45 раз.

Поэтому, одним из важных направлений совершенствования технологии является усовершенствование системы смазки и снижение сил трения.

Библиографический список

1. Brovman T.V. *Projektirovanie svarnux dwusloinix truboprovodov* [Design of welded double layer pipelines] *Svarka.Mejdunarodnaya* [Welding International], 2012, no. 26, № 7, pp. 553-554.
2. Константинов И.Л., Сидельников С.Б. Основы технологических процессов обработки металлов давлением. Учебник.– Красноярск: СФУ, 2015. - 488 С.
3. Хилл Р. Математическая теория пластичности. М.: Гостехтеориздат, 1956. 467с.
4. Кохан Л.С., Морозов Ю.А. Исследование кинематических и деформационных параметров безоправочного волочения // *Строительная механика конструкций и сооружений*. 2014. №1. С. 39-44.
5. Орлов, Г. А. Основы теории прокатки и волочения труб: учебное пособие / Г. А. Орлов. - Екатеринбург: Изд-во Урал. ун-та, 2016. - 204 с.
6. Основы технологических процессов обработки металлов давлением: учебное пособие / Г. В. Шимов, С. П. Буркин; под общ. ред. С. П. Буркина. – Екатеринбург: Изд-во Урал. ун-та, 2014.– 160 с.

Information about the paper in English

T.V. Brovman

Tver State Technical University

E-mail: brovman@mail.ru

Received 15.11.2021

DEVELOPING NEW METHODS TO CALCULATE POWER PARAMETERS OF DRAWING AND PRESSING

Abstract

A drawing tool design is characterized by the required constant supply of lubrication to the deformation zone. The paper describes a die design, where the deformation zone surface is spiral. At high drawing force there is a screw-type gap along a total matrix, where lubrication is pumped. The theoretical calculations provided criteria used to determine a kinematically admissible velocity field compatible with movement of rigid zones.

Keywords: drawing, pressing, deformation load, die lubrication.
